

Instantaneous Unit Sediment Graph Modeling

H. Noor¹ and S.H.R. Sadeghi^{2*}

Abstract

Soil erosion and sediment yield from watershed are among key limitations to achieve sustainable land use and to maintain the water quality. Development of the sediment graph (SG) is essentially required for accurate estimation of sediment yield from the watershed. However, development of SGs for watersheds is a tedious and time consuming task. Development of the sediment graph models based on easily accessible physical characteristics of a watershed and precipitation data is therefore a viable and convenient tool for designing the efficient soil and water conservation measures. In this regard, driving synthetic SGs using instantaneous unit sediment graph (IUSG) is an applied approach in watersheds where detailed discharge and sediment data are not available. However, the performance of this approach in watershed scale with different governing conditions has rarely been evaluated. The present study formulated IUSG for Kojour watershed comprising an area of some 500 Km². The Watershed located at east of Nowshahr City in Mazandaran Province, northern Iran. The suspended sediment samples were taken from Kojour River during eight storm events in 2008 and corresponding SGs were then developed. The results showed that the IUSG model is unable to predict observed SGs components of peak, time to peak, total sediment yield, and the base time having respective estimation errors of 764, 111, 750 and 101 %.

Keywords: Artificial Sediment Graph, Instantaneous Unit Sediment Graph, Suspended Sediment, Kojour Watershed.

Received: July 28, 2009

Accepted: November 6, 2011

مدل‌سازی رسوب‌نگار واحد لحظه‌ای

حمزة نور^۱ و سید‌حمدیرضا صادقی^{۲*}

چکیده

فراسایش خاک و تولید رسوب در حوضه‌های آبخیز از جمله عوامل محدود کننده استفاده پایدار از اراضی و منابع آب می‌باشد. در این راستا تهییه رسوب‌نگارها به منظور اندازه‌گیری دقیق مقدار تولید رسوبات معلق در حوضه‌های آبخیز ضروری می‌باشد. لیکن تهییه رسوب‌نگارها در سطح حوضه‌های آبخیز دشوار و هزینه‌بردار است. از این‌رو مدل‌سازی تغییرات زمانی رسوب معلق بر اساس خصوصیات زودیافت و موجود فیزیوگرافی و بارش، روشنی مناسب در تبیین اقدامات حفاظت آب و خاک محاسبه شود. در این راستا تهییه رسوب‌نگارهای مصنوعی در قالب رسوب‌نگارهای واحد لحظه‌ای شیوه کاربردی و قابل استفاده برای حوضه‌های آبخیز فاقد اطلاعات تفصیلی دبی و رسوب تلقی می‌شود. حال آن‌که ارزیابی عمل کرد آن‌ها در سطح حوضه‌های آبخیز با شرایط مختلف کمتر مورد توجه قرار گرفته است. به همین منظور تحقیق حاضر به منظور مدل‌سازی رسوب‌نگار واحد لحظه‌ای در حوضه آبخیز کجور در شرق شهرستان نوشهر با مساحت حدود ۵۰۰ کیلومتر مربع صورت پذیرفت. در این روش با استفاده از آبنگار واحد لحظه‌ای، توزیع غلظت رسوب و رسوب مزاد، رسوب‌نگار مصنوعی رگبارها تهییه گردید. همچنین برای دست‌یابی به رسوب‌نگار مشاهده‌ای، نمونه‌برداری از جریان رودخانه کجور در زمان وقوع هشت رگبار اتفاق افتاده طی دوره تحقیق در سال ۱۳۸۷ مذکور قرار گرفت. نتایج مقایسه رسوب‌نگار مصنوعی و مشاهده‌ای بیانگر آن بود که روش مذکور با توجه به متوسط خطای تخمین ۷۶۴، ۱۱۱، ۷۵۰ و ۱۰۱ درصد به ترتیب در برآوردهای اوج، زمان تا اوج، کل رسوب و زمان پایه رسوب‌نگار قادر به شبیه‌سازی هیچ‌یک از مؤلفه‌های رسوب‌نگارهای مشاهده‌ای حوضه آبخیز مورد مطالعه نبوده است.

کلمات کلیدی: رسوب‌نگار مصنوعی، رسوب‌نگار واحد لحظه‌ای، رسوب معلق، حوضه آبخیز کجور

تاریخ دریافت مقاله: ۶ مرداد ۱۳۸۸

تاریخ پذیرش مقاله: ۱۵ آبان ۱۳۹۰

۱- Ph.D. Candidate, Department of Watershed Management Engineering, Faculty of Natural Resources, Tarbiat Modares University, Noor, Mazandaran, Iran.

2 Professor, Department of Watershed Management Engineering, Faculty of Natural Resources, Tarbiat Modares University, Noor, Mazandaran, Iran, Email: sadeghi@modares.ac.ir.

*- Corresponding Author

۱- دانشجوی دکتری گروه مهندسی آبخیزداری دانشگاه تربیت مدرس، نور، مازندران، ایران.

۲- استاد گروه مهندسی آبخیزداری دانشکده منابع طبیعی دانشگاه تربیت مدرس، نور، مازندران، ایران.

*- نویسنده مسئول

۱- مقدمه

به دست آمد. سپس به منظور تهیه رسوب‌نگار کل، مقدار رسوب مؤثر در عرض‌های آن ضرب شد. Kumar and Rastogi (1987) یک مدل مفهومی از رسوب‌نگار واحد لحظه‌ای برای پیش‌بینی نمودار رسوب در حوضه آبخیز کوهستانی Chaukhtia در هندوستان با استفاده از روندیابی رسوب در امتداد یک سری از مخازن خطی را ارائه دادند. Das and Agarwal (1990) مدل مفهومی IUSG را برای پیش‌بینی رسوب معلق با استفاده از نمودارهای زمان-مساحت برای یک حوضه آبخیز کوهستانی در هند ارائه کردند. Sharma et al. (1992) با استفاده از آبنگار واحد لحظه‌ای Nash و روندیابی رسوب از مخازن متواالی IUSG در حوضه آبخیز Luni هندوستان را تهیه نمودند. Gracia-Sanchez (1996) روشی برای به دست آوردن رسوب‌نگار بر مبنای تئوری IUH و انتگرال تغییر یافته ارائه داد. Banasik and Walling (1996) اقدام به مدل‌سازی Dart IUSG بر اساس IUH و توزیع غلظت رسوب در حوضه آبخیز Dart انجلستان نمودند. Banasik and Mitchel (2008) با استفاده از آبنگار واحد لحظه‌ای Nash و رابطه بین زمان تأخیر آبنگار و زمان تأخیر رسوب‌نگار اقدام به مدل‌سازی IUSG در حوضه آبخیز Vermilion (2008) با استفاده از IUSG بر اساس آبنگار واحد لحظه‌ای Nash، روشن شماره منحنی و معادلات توانی بین روان آب و رسوب مبادرت به تهیه رسوب‌نگار برای سه رگبار در حوضه آبخیز Negwan در هندوستان نمودند. Sadeghi et al. (2009) از IUSG حاصل از آبنگار واحد لحظه‌ای Clark و روابط بین رسوب و بارش مزاد در حوضه آبخیز خانمیرزا در ایران به منظور برآورد تغییرات زمانی رسوب طی شش رگبار به طور موقوفیت‌آمیز استفاده کردند. از بررسی سوابق تحقیق می‌توان استبطان نمود که برای تهیه رسوب‌نگار اصولاً از روش منحنی IUSG به واسطه قابلیت دسترسی به اطلاعات زودیافت و دقیق بیشترین استفاده صورت گرفته و از طرفی کاربرد آن در کاربری جنگل مورد توجه هیچ‌یک از سوابق پیشین قرار نگرفته است. از این‌رو با توجه به کمبود و یا فقدان بسیاری از اطلاعات مورد نیاز مدل‌سازی تغییرات زمانی رسوب در حوضه‌های آبخیز ایران، این تحقیق در نظر دارد توانایی مدل IUSG در شبیه‌سازی رسوب‌نگارهای اتفاق افتاده در حوضه آبخیز داشتگاه تربیت مدرّس بر اساس داده‌های موجود و قابل اعتماد فیزیوگرافی، بارش مزاد و رسوب مؤثر را ارزیابی نماید.

۲- مواد و روش‌ها

۲-۱- منطقه مورد مطالعه

حوضه آبخیز کجور یکی از حوضه‌های البرز مرکزی در ارتفاعات جنگلی کجور در جنوب شرقی شهرستان نوشهر است (شکل ۱). این

رسوبات معلق رودخانه نتیجه فرسایش خاک و انتقال مواد به آبراهه‌ها می‌باشند. رسوب انتقال یافته حجم مفید مخازن را کاهش می‌دهد و از قابلیت استفاده از آن برای کاربردهای مختلف می‌کاهد. علاوه بر مقدار کل رسوب منتقل شده توسط رودخانه‌ها، چگونگی تغییرات زمانی رسوب حمل شده توسط آب‌های جاری برای مطالعات مرفوولوژی رودخانه‌ها و طراحی سازه‌های کنترل رسوب و مخازن Singh et al., 2008; Sadeghi et al., 2008 (). همچنین آگاهی Nash (Kothyari et al., 2002 and Williams, 1978) از توزیع مقدار رسوب در طول سیل‌های بزرگ، مهندسان را در طراحی سازه‌ها برای رسوب‌گیری بهتر یاری می‌نماید. تخمین دقیق رسوب تولیدی در هر رگبار مستلزم داشتن تعداد کافی نمونه در هر واقعه و یا رسوب‌نگار^۱ است. با این وجود، در ایستگاه‌های هیدرومتری کشور، نمونه‌برداری رسوب به صورت تصادفی بوده و هیچ‌گونه ارزیابی از الگوی توزیع زمانی رسوب در سیلاب‌ها و وقایع بارندگی صورت نمی‌پذیرد. بنابراین اطلاعات دقیقی در مورد رسوب‌دهی حوضه‌های آبخیز کشور طی رگبارها وجود ندارد و مدیریت حوضه‌های آبخیز و طراحی اغلب سازه‌های حفاظت آب و خاک با دقت کافی انجام نمی‌شود. در این راستا استفاده از مدل‌های واسنجی شده و یا مدل‌سازی عوامل مؤثر در فرسایش و رسوب، منجر به ارزیابی‌های بهتر بار رسوبی و در نتیجه دقت بیشتر در طراحی سازه‌های هیدرولیکی و حفاظت خاک و آب می‌گردد. از این‌رو مدل‌سازی تغییرات زمانی رسوب معلق بر اساس خصوصیات زودیافت و موجود فیزیوگرافی و بارش، روشی مناسب در تبیین اقدامات حفاظت آب و خاک محسوب می‌شود. در این راستا مدل‌های مختلفی به منظور برآورد مقدار فرسایش یا رسوب در مقیاس‌های زمانی و مکانی متفاوت و تحت شرایط مختلف ایجاد شده است. از جمله مدل‌های معمول در زمینه برآورد تغییرات زمانی رسوب معلق در طی رگبار، رسوب‌نگار واحد لحظه‌ای^۲ می‌باشد (Gracia-Sanchez, 1996; Kumar and Rastogi, 1987). رسوب‌نگار واحد لحظه‌ای مفهومی مترادف با آبنگار واحد لحظه‌ای داشته و به معنای رسوب ایجاد شده از یک رگبار آنی می‌باشد که به صورت یک‌نواخت در سطح حوضه آبخیز باریده و موجب یک واحد رسوب مزاد^۳ (مشابه روان آب مستقیم) شده است Sadeghi et al., 2009; Banasik and Mitchel, 2008; (Banasik and Walling, 1996; Das and Agarwal, 1990). Williams (1978) برای اوئین بار مفهوم IUSG برای ۵ حوضه آبخیز در Texas را پیشنهاد نمود. در این روش منحنی تغییرات رسوب طی زمان از حاصل ضرب عرض‌های IUH^۴ و غلظت رسوب

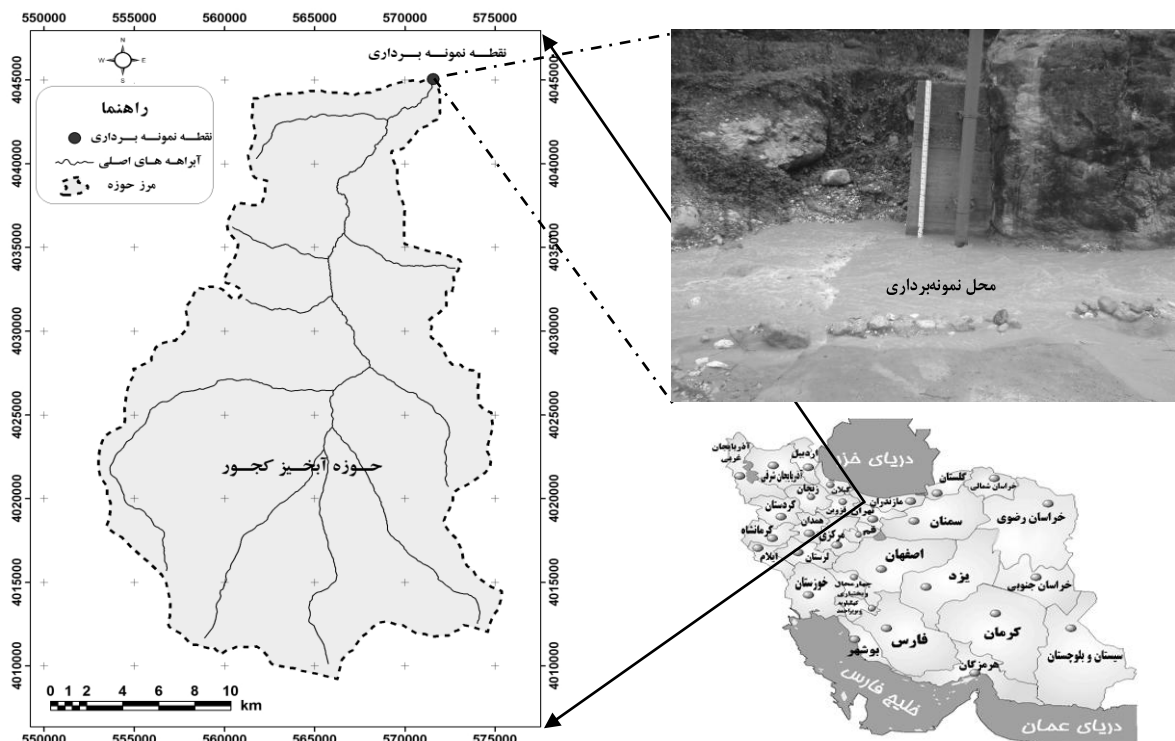
نمونه آب و رسوب را درون بشر ریخته، سپس آن را به مدت ۴۸ ساعت به حالت سکون نگه داشته، بعد از این مدت، به آرامی اقدام به تخلیه آب بالای رسوبات گردید. بعد از خالی کردن آب اضافی، رسوبات موجود در کف طرف را شسته و درون فویل های از قبل تهیه و توزین شده ریخته و در آون در دمای ۱۰۵ درجه سانتی گراد به مدت ۲۴ ساعت خشک گردید (Putjaroon and Pongewn, 1987). با توزین نمونه های فویل همراه رسوب و کسر نمودن وزن فویل های اولیه، وزن رسوب نمونه بر حسب گرم در لیتر محاسبه شد.

از آن جایی که برای تهیه رسوب نگار مصنوعی با استفاده از مفهوم IUSG، در اختیار داشتن منحنی زمان-مساحت حوضه آبخیز برای تهیه IUH، غلظت رسوب و رسوب مؤثر ضروری می نمود لذا در این تحقیق از تئوری Clark بر اساس منحنی های زمان-مساحت و روندیابی جریان از یک مخزن خطی (صادقی و دهقانی، ۱۳۸۵؛ Subramanya, 2000) به منظور تهیه IUH استفاده شد. برای این منظور، طول آبراهه متناسب با تعداد بخش های لازم تقسیم شده و با امتداد دادن نقطه مربوطه در روی محور طولی آبراهه، ارتفاع متناظر با آن قرائت و روی نقشه توپوگرافی منتقل شده و نقشه خطوط همزمان تمرکز و بخش های مربوطه تهیه گردید (Das and Agarwal, 1990; Subramanya, 2000).

حوضه آبخیز از شمال با دریای خزر و از جنوب با بخش کجور مجاور است. حداقل و حداقل ارتفاع حوضه آبخیز به ترتیب ۱۵۰ و ۲۶۵۰ متر از سطح آبهای آزاد می باشد. اکثر دامنه ها در جهت شمال غربی- شمال شرقی قرار گرفته اند (رئیسی و همکاران، ۱۳۸۹).

۲-۲- روش تحقیق

به منظور تهیه رسوب نگارهای مشاهداتی نیاز به داده های دبی آب و غلظت رسوبات متعلق در مقیاس رگبار بود. از آنجایی که نمونه برداری به منظور تعیین غلظت رسوب در حوضه آبخیز کجور صورت نمی گیرد، لذا برای تهیه رسوب نگار رگبارها، نمونه برداری از آب رودخانه طری رگبارها صورت گرفت. نمونه برداری همزمان با وقوع رگبار در فصول پاییز و زمستان ۱۳۸۷ و بهار ۱۳۸۸ بعد از کسب اطلاع از متصدیان محلی و با حضور سریع در حوضه آبخیز از جریان آب رودخانه در محل ایستگاه هیدرومتری به وسیله ظروف پلاستیکی ۲ لیتری (Das, 2000) و بهروش انتگراسیون عمقی (Edwards and Glysson, 1999) با فواصل زمانی حداقل یک ساعت به عمل آمد. همزمان با برداشت هر نمونه رسوب، دبی جریان رودخانه نیز با اندازه گیری سرعت آب، قرائت اشل و اندازه گیری سطح مقطع به دست آمد. برای اندازه گیری غلظت رسوب از روش تخلیه آب استفاده شد (Walling et al., 2001). در این روش ابتدا یک لیتر



شکل ۱ - موقعیت کلی حوضه آبخیز کجور و محل نمونه برداری

در ادامه برای به دست آوردن رسوبرنگارهای مصنوعی رگبارها از تبدیل IUSG به USG، همانند تبدیل آبنگار واحد لحظه‌ای به آبنگار واحد از رابطه (۶) استفاده شد (Subramanya, 2000; Sadeghi et al., 2009).

$$(T-h \text{ USG})_t = 1/2 [(IUSG)_t + (IUSG)_{t+T}] \quad (6)$$

که در آن $(T-h \text{ USG})_t$ عرض‌های رسوبرنگار واحد T ساعته در زمان t و $(IUSG)_{t+T}$ به ترتیب عرض‌های IUSG در زمان t و T ساعت تأخیر می‌باشند. در نهایت برای تهیه رسوبرنگار مستقیم مشاهداتی از تبدیل $T-h \text{ USG}$ به رسوبرنگار مستقیم از رسوبر مؤثر استفاده شد. رسوبر مؤثر نیز از طریق تحلیل روابط مناسب بین داده‌های غلظت رسوبر و بارش مؤثر و با استفاده از آنالیز داده‌های ثبت شده برای منطقه به دست آمد (Sadeghi and Singh, 2005; Sadeghi et al., 2009).

ارزیابی عمل کرد IUSG از طریق مقایسه کیفی و کمی رسوبرنگارهای برآورده و مشاهداتی صورت پذیرفت. در این ارتباط از معیارهای خطای نسبی برای مؤلفه‌های مهم رسوبرنگار شامل حجم رسوبر، مقدار اوج رسوبر، زمان پایه و زمان تا اوج رسوبرنگار Green and Stephenson, 1986; نیز ضریب کارائی استفاده گردید (Sadeghi et al., 2009). برای اعتبارسنجی نهایی مدل از معیارهای خطای نسبی کمتر از ۴۰ درصد (Liu and Li, 2008; Das, 2000) و ضریب کارائی بیش از ۵۰ درصد و ترجیح‌آن زدیک به یک (صادقی و همکاران, ۱۳۸۴) استفاده شد.

۳-نتایج

برای انجام تحقیق حاضر نمونه‌برداری از رسوبر ۸ رگبار به‌وقوع پیوسته در طول دوره مورد مطالعه پاییز و زمستان ۱۳۸۷ و بهار ۱۳۸۸ و بهروش شرح داده شده، صورت پذیرفت. از آنجایی که زمان تمرکز این حوضه آبخیز بر اساس داده‌های بارش و روان آب ثبت شده حدود ۵/۵ ساعت بود، لذا حداکثر زمان پیمایش بین دو خط همزمان تمرکز یک ساعت در نظر گرفته و کل حوضه آبخیز مذکور به ۶ قسمت با زمان پیمایش مساوی تقسیم شد. در شکل ۲ مشخصات مناطق همزمان تمرکز حوضه آبخیز کجور ارائه شده است.

سپس با استفاده از رابطه (۱) منحنی زمان - مساحت، در هر پایه زمانی Δt_c (یک ساعت)، به دبی جریان تبدیل شد. پس از محاسبه کلیه ورودی‌های مورد نیاز مدل Clark، آبنگار واحد لحظه‌ای حوضه آبخیز جنگلی کجور مطابق شکل ۳ تهیه شد. همچنین با جایگزینی مقادیر دبی اوج سیل و بارش مازاد بر حسب مترمکعب بر

سپس مساحت مناطق محصور بین دو خط همزمان تمرکز با استفاده از نرم‌افزار Arc GIS 9.2 تعیین و منحنی زمان - مساحت ترسیم شد. در ادامه با استفاده از رابطه (۱)، نمودار زمان - مساحت به‌جریان ورودی به مخزن فرضی در انتهای حوضه آبخیز تبدیل شد (Sadeghi et al., 2009; Subramanya, 2000).

$$I_i = 2.78 \frac{A_i}{\Delta t_c} \quad (1)$$

که در آن I_i دبی ورودی در هر دوره زمانی (مترمکعب بر ثانیه)، A_i مساحت شرکت کننده در انتهای دوره زمانی (کیلومتر مربع) و Δt_c دوره زمانی مبنای IUH (ساعت) می‌باشند. سپس روندیابی جریان مذکور با استفاده از معادله ماسکینگام (رابطه ۲) انجام و عرض‌های IUH به دست آمدند (Das and Agarwal, 1990; Subramanya, 2000).

$$Q_2 = \frac{\Delta t_c}{K + 0.5\Delta t_c} I_1 + \frac{K - 0.5\Delta t_c}{K + 0.5\Delta t_c} Q_1 \quad (2)$$

که در آن Δt_c زمان تمرکز هر بخش همزمان تمرکز (ساعت)، I_1 و Q_1 به ترتیب جریان ورودی و خروجی اوایله و Q_2 جریان خروجی بعد از زمان Δt_c (متر مکعب بر ثانیه) می‌باشند. پارامتر K ضریب ذخیره حوضه آبخیز (ساعت) بوده و از روش ترسیمی به‌دلیل سهولت استفاده و عمل کرد بهتر در مقایسه با سایر شیوه‌ها (صادقی و دهقانی، ۱۳۸۵) به دست آمد. در ادامه به‌منظور تهیه عرض‌های (S_t)، از حاصل ضرب عرض‌های IUH تهیه شده به‌روشنی (U_t) در غلظت رسوبر (C_t) و به صورت رابطه (۳) استفاده شد (Sadeghi et al., 2009; Banasik and Mitchel, 2008; Banasik and Walling, 1996).

$$S_t = \frac{U_t C_t}{\int_0^\infty U_t C_t dt} \quad (3)$$

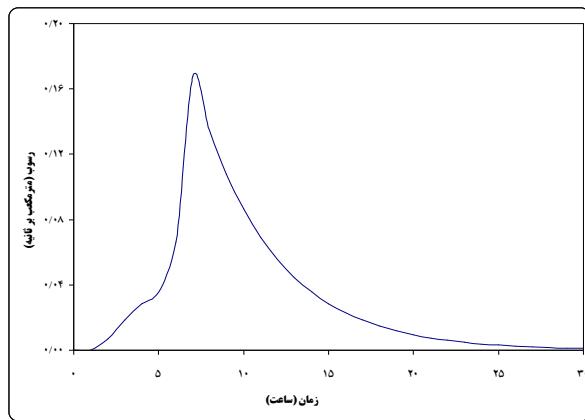
مقادیر غلظت رسوبر طی رگبارهای مورد بررسی با استفاده از رابطه حاکم بر توزیع زمانی غلظت رسوبر و با استفاده از رابطه (۴) Sadeghi et al., 2009; Banasik and Mitchel, 2008; (Banasik and Walling, 1996; Williams, 1978) آمد.

$$C_t = \exp(-Zt) \quad (4)$$

پارامتر Z نیز از رابطه (۵) و با کمک عوامل دبی اوج (q_p)، مقدار اوج بارندگی در واحد زمان (Q_p) و زمان تا اوج حوضه آبخیز (T_p) به ترتیب بر حسب مترمکعب بر ثانیه، مترمکعب بر ثانیه و ساعت محاسبه شد (Sadeghi et al., 2009; Williams, 1978).

$$Z = \frac{-\ln(q_p / Q_p)^{0.56}}{T_p} \quad (5)$$

شکل ۴- نسبت بدون بعد غلظت رسوب حوضه آبخیز کجور



شکل ۵- رسوبنگار واحد لحظه‌ای حوضه آبخیز کجور

در ادامه با استفاده از رابطه (۶)، مقادیر عرض USG حاصل شده از طریق ضرب در رسوب مازاد، به رسوبنگارهای مصنوعی به صورت ارائه شده در شکل ۴ تبدیل شدند. مقدار رسوب مؤثر سیالبها (ES) بر حسب تن در کیلومتر مربع، به عنوان تابعی از متوسط دبی سیل (ER) بر حسب مترمکعب بر ثانیه و بر اساس رابطه (۷) با ضرب تبیین و خطای تخمین بهتریب ۹۸ و ۳۹ درصد مذکور قرار گرفت. شکل ۶ رسوبنگار تخمینی و مشاهداتی را برای واقعیت مورد بررسی در حوضه آبخیز کجور نشان می‌دهد.

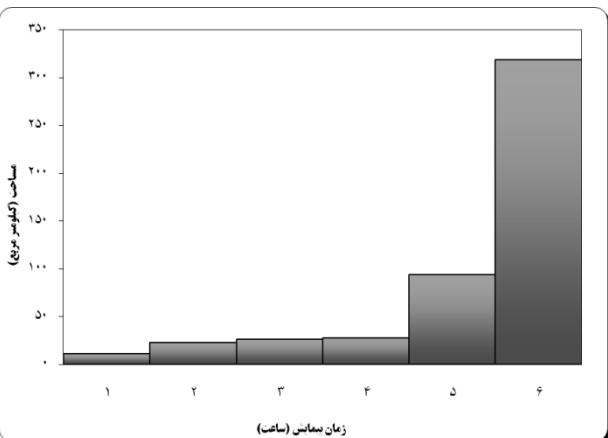
$$ES^{0.33} = 0.269 \text{ (ER)} + 1.0044 \quad (7)$$

۱-۳- جمع بندی نتایج

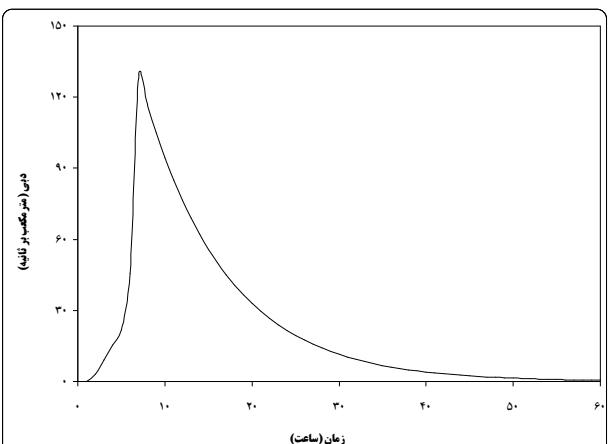
بر اساس روش کار ارائه شده، رسوبنگار مصنوعی رگبارهای مورد مطالعه در حوضه آبخیز جنگلی کجور برآورد گردید و سپس با رسوبنگارهای مشاهدهای مورد مقایسه قرار گرفتند. در این تحقیق متوسط پارامتر روندیابی رسوب (Z) برابر با $116/0$ به دست آمد که با یکی از مدل‌های پیشنهادی (Sadeghi 2000) در حوضه آبخیز امامه مطابقت دارد. حداقل و حدکثر پارامتر مذکور مربوط به روزهای ۱۰ و ۸ آبان ۱۳۸۷ و بهتریب 0.031 و 0.025 بوده است

Banasik, 1995, Banasik and Walling (1996) مقدار این پارامتر در زمان اوج و شکل Sadeghi et al. (2009) رسوبنگار واحد لحظه‌ای را مؤثر اعلام کرده‌اند. در این ارتباط اگر Z مثبت باشد نشان‌دهنده رسوبنگاری کشیده با اوج زودرس می‌باشد. کثرت رسوبنگارهای زودرس و بعضًا هم‌زمان در حوضه آبخیز کجور، توجیه کننده مقدار مثبت Z و دلالت بر مفهوم سازی صحیح در فرآیند مدل‌سازی این پارامتر می‌باشد. همان‌طور که در رسوبنگارهای ارائه شده در شکل ۵ مشاهده می‌گردد، در اغلب

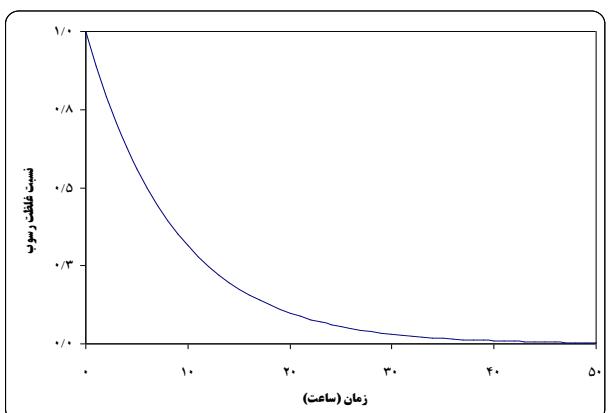
ثانیه در رابطه (۵)، مقدار متوسط پارامتر روندیابی رسوب $0.08/0$ بر حسب معکوس ساعت (h^{-1}) بدست آمد. سپس با استفاده از روابط (۴) و سپس (۳) بهتریب میزان توزیع بدون بعد غلظت رسوب و عرض‌های رسوبنگار واحد لحظه‌ای به صورت ارائه شده در شکل‌های ۴ و ۵ برآورد گردید. همچنین نتایج کاربرد معیارهای خطای تخمین و ضربی کارآیی برای برآورد مؤلفه‌های مهم رسوبنگارها در جدول ۱ آورده شده است.



شکل ۲- بخش‌های هم‌زمان تمرکز حوضه آبخیز کجور

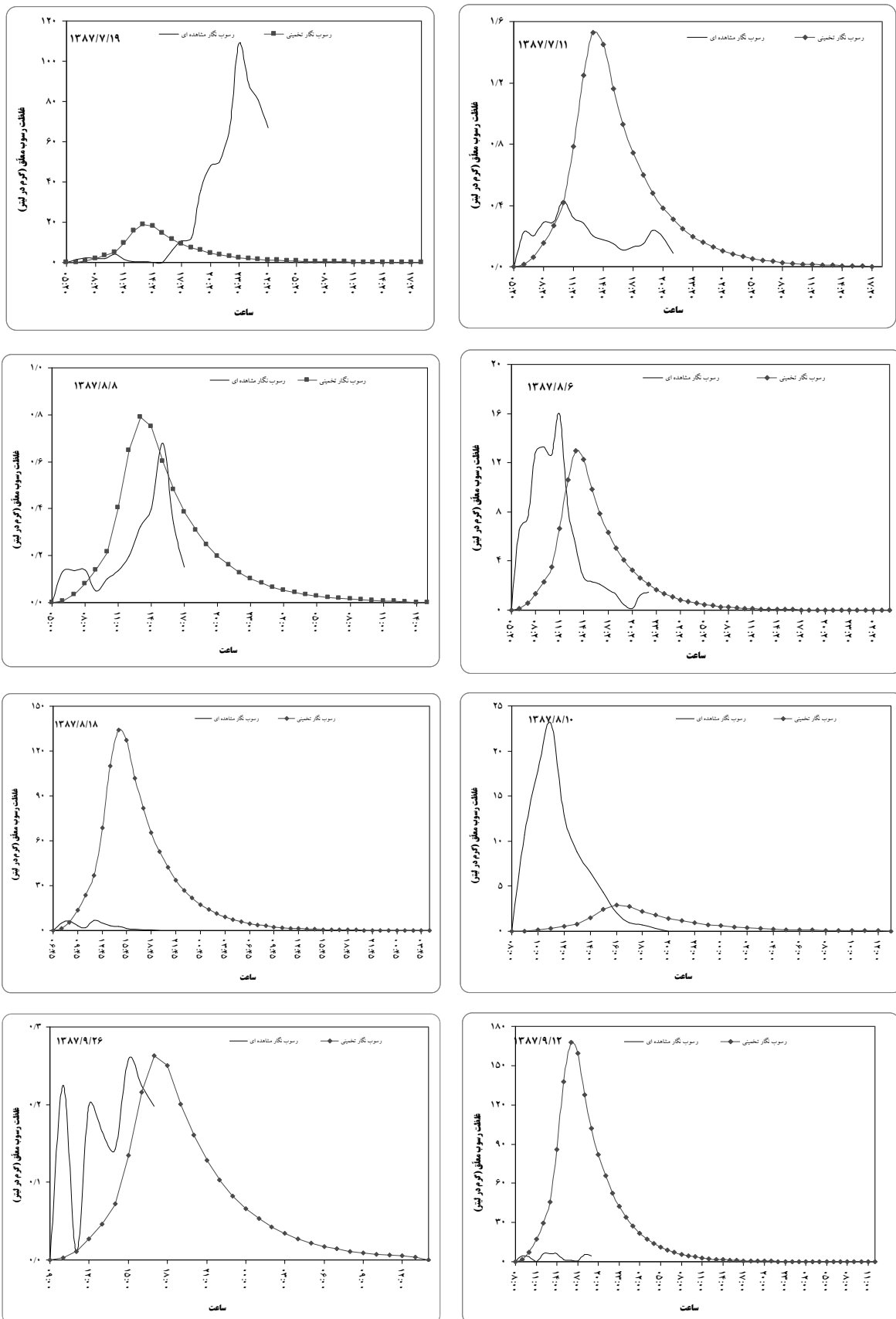


شکل ۳- آبنگار واحد لحظه‌ای تهیه شده به روش کلارک در حوضه آبخیز کجور



زمانی رسوبر معلق حوضه آبخیز کجور نبوده است.

موارد رسوبرنگار برآورده قابل صحتی از تغییرات



شکل ۶ رسوبنگارهای مشاهده‌ای و تخمینی حاصل از کاربرد روش IUSG

زمان پایه رسوبنگار (ساعت)			مقدار کل رسوب (تن)			تاریخ رگبار	ردیف
خطای تخمین (درصد)	تخمینی	مشاهده‌ای	خطای تخمین (درصد)	تخمینی	مشاهده‌ای		
۲۱۸	۳۵	۱۱/۰۰	۱۸۲	۲/۲۹	۰/۸۱	۱۳۸۷/۰۷/۱۱	۱
۳۳۶	۴۸	۱۱/۰۰	۸۷	۳۱/۵۲	۲۵۸/۰۰	۱۳۸۷/۰۷/۱۹	۲
۳۱۸	۴۶	۱۱/۰۰	۳۷	۳۴/۲۰	۲۴/۸۹	۱۳۸۷/۰۸/۰۶	۳
۲۰۰	۳۳	۱۱/۰۰	۷۱	۰/۸۴	۰/۴۹	۱۳۸۷/۰۸/۰۸	۴
۳۶۱	۳۹	۸/۴۵	۷۸	۴/۲۴	۱۹/۹۰	۱۳۸۷/۰۸/۱۰	۵
۵۱۲	۵۶	۹/۱۵	۱۹۷۴	۲۸۶۶/۷۸	۱۳۸/۲۰	۱۳۸۷/۰۸/۱۸	۶
۵۹۹	۵۷	۸/۱۵	۲۱۸۷	۳۴۸۱/۰۸	۱۵۲/۲	۱۳۸۷/۰۹/۱۲	۷
۳۰۰	۲۸	۷/۰۰	۲۷	۰/۱۶	۰/۲۲	۱۳۸۷/۰۹/۲۶	۸

جدول ۱ - مقایسه مؤلفه‌های مختلف رسوبنگارهای مشاهده‌ای و تخمینی رگبارهای مورد مطالعه

اوج غلظت رسوب معلق (گرم در لیتر)			زمان تا اوج (ساعت)			تاریخ رگبار	ردیف
خطای تخمین (درصد)	تخمینی	مشاهده‌ای	خطای تخمین (درصد)	تخمینی	مشاهده‌ای		
۱۷۸	۱/۵۳	۰/۵۵	۲۰۰	۹	۳/۰	۱۳۸۷/۰۷/۱۱	۱
۸۲	۱۹/۲۰	۱۰۸/۰۰	۰	۹	۹/۰	۱۳۸۷/۰۷/۱۹	۲
۱۹	۱۲/۹۵	۱۶/۰۰	۶۳	۹	۵/۵	۱۳۸۷/۰۸/۰۶	۳
۱۶	۰/۷۹	۰/۶۸	۰	۹	۹/۰	۱۳۸۷/۰۸/۰۸	۴
۸۷	۲/۹۳	۲۳/۱۰	۲۰	۹	۷/۵	۱۳۸۷/۰۸/۱۰	۵
۱۸۲۷	۱۳۴/۱۷	۶/۹۶	۲۰۰	۹	۳/۰	۱۳۸۷/۰۸/۱۸	۶
۲۳۷۹	۱۶۷/۳۴	۶/۷۵	۲۲۱	۹	۲/۸	۱۳۸۷/۰۹/۱۲	۷
۴	۰/۲۵	۰/۲۶	۳۵۰	۹	۲/۰	۱۳۸۷/۰۹/۲۶	۸

ادامه جدول ۱ - مقایسه مؤلفه‌های مختلف رسوبنگارهای مشاهده‌ای و تخمینی رگبارهای مورد مطالعه

مطالعه و طبعاً ضریب ذخیره بالای حوضه آبخیز (متوسط ۱۰/۵ ساعت) باعث طولانی شدن شاخه خشکیدگی آبنگار واحد لحظه‌ای گردیده است. علاوه بر این عدم امکان نمونه‌برداری تا زمان اتمام کامل رسوب سیالاب نیز در این زمینه نقش مؤثری داشته است.

همان‌طور که در نتایج ارائه شده در جدول ۱ مشاهده می‌شود رسوبنگار تخمینی رگبارهای ۱۹ مهر و ۸ آبان ۱۳۸۷ دارای زمان تا اوج برابر با مقادیر مشاهداتی می‌باشد، در حالی که در سایر رگبارها بیش تخمینی مدل در این زمینه مشهود بوده است و با یافته‌های Sadeghi et al. (2009) و همکاران مبنی بر کم تخمینی کامل مدل در زمان تا اوج رسوبنگار مغایرت دارد. همچنین در رگبارهای ۱۱ مهر، ۸ و ۱۸ آبان و ۱۲ آذر ۱۳۸۷، رسوبنگارهای

در این راستا (Williams 1978) قابلیت روش مذکور را تنها در شبیه‌سازی رسوب معلق حاصل از فرسایش دامنه‌ها عنوان کرده است. به عبارتی این روش در صورت وجود شرایط یکنواخت در منطقه توانایی شبیه‌سازی شکل مناسب رسوبنگار را دارا می‌باشد و نوسانات ایجاد شده در رسوبنگار ناشی از لغزش، فرسایش کناری شدید و برداشت رسوبات کانالی در خود را نشان نمی‌دهد. علاوه بر این به دلیل تک اوج بودن IUH، قطعاً رسوبنگارهای حاصله از این روش نیز یک اوج خواهند داشت که خود دلیلی بر عدم یکسانی شکل رسوبنگارهای برآورده و تخمینی می‌باشد. مقایسه کیفی رسوبنگارهای مشاهداتی و تخمینی بیان گر زمان پایه بزرگ‌تر در رسوبنگارهای تخمینی بوده و دلیل این امر تبعیت IUSG مشتق شده از IUH با زمان پایه طولانی می‌باشد. جنگلی بودن منطقه مورد

۴- نتیجه‌گیری

تحقیق حاضر با هدف تهیه منحنی تغییرات زمانی رسوب در پایه رگبار یا رسوبنگار در حوضه آبخیز جنگلی دانشگاه تربیت مدرس (کجور) صورت پذیرفت. از مقایسه رسوبنگارهای شبیه‌سازی شده به وسیله مفهوم IUSG با رسوبنگارهای متناظر مشاهده‌ای آن‌ها می‌توان جمع‌بندی نمود که کارآیی مدل مذکور در شبیه‌سازی هیچ یک از مؤلفه‌های رسوبنگارها مناسب نبوده و لذا استفاده از آن در حوضه آبخیز مورد مطالعه و یا حوضه‌های آبخیز مشابه با پیچیدگی‌های هیدرولوژیکی و رفتار متغیر و ناپایدار پیشنهاد نمی‌شود. اگرچه ارائه جمع‌بندی‌های نهایی مستلزم انجام مطالعات گستردتر، تحلیل‌های مقیاسی مناسب و تداوم تحقیق بیش‌تر می‌باشد. همچنین با توجه به نتایج حاصل از تحقیق فعلی و کاربرد مدل IUSG در حوضه آبخیز مذکور، ارزیابی عمل کرد سایر شیوه‌های تهیه آبنگار واحد لحظه‌ای بر اساس منحنی‌های مختلف زمان-مساحت و نیز ضریب ذخیره برای شبیه‌سازی رسوبنگارهای مشاهده‌ای منطقه مورد مطالعه، ارزیابی کارآیی سایر شیوه‌های تخمین نسبت غلظت رسوب، ضریب روندیابی رسوب و نیز رسوب مازاد در دقت مدل IUSG و افزایش دوره نمونه‌برداری و جمع‌آوری باران‌نگار، آبنگار و رسوب‌نگار، به منظور ارتقای کیفی فرآیند مدل‌سازی بارش، روان‌آب و رسوب، برای تحقیقات پیشنهاد می‌گردد.

پی‌نوشت‌ها

1-Sediment Graph

2-Instantaneous Unit Sediment Graph, IUSG

3-Sediment Mobilized

4-Instantaneous Unit Hydrograph, IUH

۶- مراجع

رئیسی، م.ب، صادقی، س.ح.ر، نور، ح، (۱۳۸۹)، دقت روش زمان - مساحت در تهیه رسوبنگار در حوزه آبخیز کجور، مترجم: ۴ (۲)، ۳۲۰-۲-۳۳۳.

صادقی، س.ح.ر، دهقانی، م، (۱۳۸۵)، دقت روش‌های تخمین ضریب ذخیره آبنمود واحد لحظه‌ای در بازسازی آبنمود واحد سیل، مجله علوم کشاورزی و منابع طبیعی، (۱۳) (۳)، صص ۱۵۲-۱۵۹.

صادقی، س.ح.ر، مرادی، ح.ر، مزین، م، وفاخواه، م، (۱۳۸۴)، کارآیی روش‌های مختلف تجزیه و تحلیل آماری در مدل‌سازی بارش-رواناب (مطالعه موردی: حوضه آبخیز کسیلیان)، مجله علوم کشاورزی و منابع طبیعی، (۱۲) (۳)، صص ۸۱-۹۰.

برآوردهای دارای اوج بیش‌تری نسبت به مقادیر مشاهده‌ای بوده در حالی که در سایر رگبارها این مقدار را کمتر از حد مشاهده‌ای برآورد نموده است که با یافته‌های Sadeghi et al. (2009) مغایرت داشته حال آن که (1978) Williams عدم روند یکسان IUSG در تخمین اوج رسوبنگارهای مختلف را گزارش کرده است. کمترین خطای مدل در تخمین مهم‌ترین مؤلفه‌های رسوبنگار، مربوط به زمان تا اوج رسوبنگار با متوسط خطای تخمین ۱۱۱ درصد و حداقل و حداکثر به ترتیب صفر و ۳۵۰ درصد مربوط به رگبارهای ۱۷ مهر و ۸ آبان و ۲۶ آذر ۱۳۸۷ می‌باشد. روش IUSG در حوضه آبخیز کجور در هیچ‌یک از وقایع بارش قادر به برآورد اوج غلظت رسوب معلق و زمان پایه رسوبنگار با در نظر گرفتن سطح ۴۰ درصد برای خطای تخمین نبود به طوری که متوسط خطای ترتیب ۷۶۴ و ۱۰۱ درصد به دست آمده است. بررسی مقادیر مشاهده‌ای و تخمینی رسوب‌دهی رگبارها نشان‌دهنده آن است که تنها در ۶ و آبان و ۲۶ آذر ۱۳۸۷ مدل قادر به برآورد صحیح کل رسوب انتقال یافته با خطای به ترتیب ۳۷ و ۲۷ درصد بوده است. حال آن که متوسط خطای مدل در برآورد این مؤلفه برای سایر رگبارها و با تأکید بر عمل کرد بسیار نامناسب آن برای رگبارهای ۱۸ آبان و ۱۲ آذر ۱۳۸۷ در حدود ۷۵۰ درصد برآورده شده است. همچنین دقت در مقادیر ضریب کارآیی نشان‌دهنده عدم کارآیی روش مذکور در تهیه منحنی تغییرات زمانی رسوب است. ضریب کارآیی منفی این رسوبنگارها و مطابق با یافته‌های Sadeghi et al. (2006) Mishra et al. (2006) برتری میانگین مقادیر مشاهده‌ای به جای تخمین‌های مدل دارد.

تغییرپذیری شرایط از جمله پوشش توده‌های باران‌زا در منطقه، رطوبت پیشین خاک و موجودیت رسوب را می‌توان از عوامل تأثیرگذار در تغییر پاسخ‌های هیدرولوژیک حوضه آبخیز مذکور عنوان کرد. همچنین تغییرات ارتفاعی شدید منطقه و گردابیان متغیر و در مجموع منفی بارش به همراه عدم بارش‌های فرآگیر در حوضه آبخیز مذکور باعث عدم مشارکت تمامی مناطق در تولید روان‌آب و رسوب گردیده است. در این صورت شرط وجود بارش یکنواخت در سطح حوضه آبخیز برای رسوبنگار واحد لحظه‌ای تأمین نمی‌شود که می‌تواند به عنوان یکی دیگر از عوامل ناکارآمدی روش مذکور در حوضه آبخیز مطالعاتی باشد. حساسیت روش مذکور به داده‌های بارش به منظور برآورد مقدار و زمان تداوم بارش مازاد و نبود آمار بارندگی در پایه‌های زمانی کوتاه در منطقه مورد مطالعه از دیگر دلایل عدم کارآیی IUSG در این مطالعه محسوب می‌شود.

- Putjaroon, W. and Pongewn, K. (1987), Amount of Runoff and Soil Losses from Various Landuse Sampling Plots in Province, Thailand, *Proceeding of Forest Hydrology and Watershed Management*, August 1987, IAHS-AISH, Publication, pp.167-198.
- Sadeghi, S.H.R. (2000), *Some Aspects of Spatial and Temporal Distribution and Development of Prediction Model of Watershed Sediment Yield*, Ph.D. Dissertation, G.B. Pant University of Agriculture and Technology, India, 243p.
- Sadeghi, S.H.R., Mizuyama, T., Miyata, S., Gomi, T., Kosugi, K., Fukushima, T., Mizugaki, S. and Onda, Y. (2008), Development, Evaluation and Interpretation of Sediment Rating Curves for a Japanese Small Mountainous Reforested Watershed, *Geoderma*, 144, pp. 198-211.
- Sadeghi, S.H.R., Mizuyama, T., Singh, J.K. and Tofghi, B., (2009), Applicability of Instantaneous Unit Sediment Graph Model in an Iranian Large Watershed, *Journal of Ecological Economics and Statistics*, 13, pp. 30-45.
- Sadeghi, S.H.R. and Singh, J.K. (2005), Development of a Synthetic Sediment Graph using Hydrological Data, *Journal of Agricultural Science and Technology (JAST)*, 7, pp. 69-77.
- Sharma, K.D., Dhi, R.P. and Murthy, J.S.R. (1992), Modelling Suspended Sediment Flow in Arid Upland Basins, *Hydrological Sciences Journal*, 37(5), pp. 481-49.
- Singh, P.K., Bhunya, P.K., Mishra, S.K. and Chaube, U.C. (2008), A Sediment Graph Model Based on SCS-CN Method, *Journal of Hydrology*, 349, pp. 244-255.
- Subramanya, K. (2000), *Engineering Hydrology*, 2nd edition, New Delhi, India, 391p.
- Walling, D.E., Collins, A.L., Sichingabula, H.A. and Leeks, G.J.L. (2001), Integrated Assessment of Catchment Suspended Sediment Budgets: A Zambian Example, *Land Degradation and Development*, 12, pp. 387-415.
- Williams, J.R. (1978), A Sediment Graph Model based on an Instantaneous Unit Hydrograph, *Journal of Water Resources Research*, 14(4), pp. 659-664.
- Banasik, K. (1995), A conceptual Model of Instantaneous Unit Sedimentgraph. *Sediment and Water Quality in River Catchment*, pp. 97-105.
- Banasik, K. and Mitchell, J.K. (2008), Conceptual Model of Sedimentgraph from Flood Events in a Small Agricultural Watershed, *Land Reclamation*, 39, pp. 49-57.
- Banasik, K. and Walling, D.E. (1996), Predicting Sedimentgraphs for a Small Agricultural Catchment, *Nordic Hydrology*, 27(4), pp. 275-284.
- Das, G. (2000), *Hydrology and Soil Conservation Engineering*, Prentice-Hall of India, 489p.
- Das, G. and Agrawal, A. (1990), Development of Conceptual Sedimentgraph Model, *Transactions of the American Society of Agricultural Engineers*, ASAE, 33(1), pp. 100-104.
- Edwards, T.K. and Glysson, G.D. (1999), Field Methods for Measurement of fluvial Sediment, *USGS Open-file Report 1-97 p. Available at: http://water.usgs.gov/osw/techniques/Edwards-TWRI.pdf* 1999
- Gracia-Sanchez, J. (1996), Generation of Synthetic Sediment Graphs, *Hydrological Processes*, 10, pp. 1181-1191.
- Green, I.R.A. and Steohenson, D. (1986), Criteria for Comparison of Single Event Models, *Hydrological Sciences Journal*, 31, pp. 395-411.
- Kothyari, U.C., Jain, M. and Ranga Raju, K. (2002), Estimation of Temporal Variation of Sediment Yield using GIS, *Hydrological Sciences Journal*, 47(5), pp. 693-706.
- Kumar, S. and Rastogi, R.A. (1987), A Conceptual Catchment Model for Estimating of Suspended Sediment Flow, *Journal of Hydrology*, 95, pp. 155-163.
- Liu, X. and Li, J. (2008), Application of SCS Model in Estimation of Runoff from Small Watershed in Loess Plateau of China, *Chinese Geographical Sciences*, 18(3), pp. 235-241.
- Mishra, S.K., Tyagi, J.V., Singh, V.P. and Singh, R. (2006), SCS-CN based Modeling of Sediment Yield, *Journal of Hydrology*, 324, pp. 301-322.